

제주 북부지역 스코리아의 철 화합물에 관한 연구

최원준 · 고정대*

제주대학교 물리학과, 제주시 아라1동 1번지, 690-756

(2008년 9월 18일 받음, 2008년 10월 9일 최종수정본 받음, 2008년 10월 9일 게재확정)

제주도 북부 지역 오름의 주성분인 스코리아에 대한 화학적 조성, 산화철의 원자가 상태와 자기적 성질을 조사하였다. X-선 형광분석을 통해서 철 함유량은 14.08~20.08 wt% 임을 확인하였고, X-선 회절법을 이용하여 분석한 결과, SiO₂와 같은 규산염 외에 소량의 철산화물이 확인되었다. Mössbauer 분광법을 통해서 시료들 내부의 광물 중, 철 성분들이 어떤 형태를 이루는지 알아 보았다. 측정된 결과 olivine인 규산염과 pyroxene, ilmenite와 같은 상자성 철산화물 및 상온에서 반강자성 및 강자성 물질인 hematite와 magnetite 산화철 광물들이 확인되었다. 그리고 철 화합물의 원자가 상태는 Fe²⁺인 olivine, pyroxene 그리고 ilmenite와 Fe³⁺인 hematite, magnetite 등을 포함하고 있다. 주성분으로 볼 수 있는 hematite의 총 면적비는 평균 57.88 wt%이었고 스코리아 내에 존재하는 철의 주 원자가 상태는 대부분 Fe³⁺임을 알 수 있었으며, 이 결과는 다른 제주 중산간 지역의 스코리아와 동일한 지구화학적 특성을 보이고 있음을 알 수 있다.

주제어 : 스코리아, X-ray diffractometry, X-ray fluorescence, 뫼스바우어 효과, 철 화합물

I. 서 론

제주도는 120만 년 전부터 약 100만 년 이상의 기간 동안 여러 분화구에서 분출한 분출물로 형성된 섬이며[1, 2], 장축(74 km)과 단축(32 km)을 갖는 타원형의 순상화산체로, 화산암의 분포 면적은 약 1,825 km²이다. 제주도 전역에는 작은 화산체들이 한라산을 중심으로 대체로 동축과 서축에 밀집되어 분포한다. 이들은 소규모의 폭발적 분화에 의해 수백 미터 상공으로 분출된 쇄설물들이 화구 주변에 퇴적되어 만들어진 것으로 368여개 분포하고 있다고 알려져 있다. 이들은 지질학적으로 화쇄구(火砕丘, pyroclastic cone)라 하며 제주어로 오름이라 부른다. 최근 여러 오름 들은 지질학 및 식물생태학적으로 학술적 연구 가치가 높아 다양한 연구가 이루어지고 있다[3]. 이들을 지질학적으로 분류하면 주성분인 화산쇄설성 물질의 종류에 의해 스코리아구, 경석구(輕石丘), 화산회구(火山灰丘)로 세분되며, 화산회구 중에서 퇴적물의 양이 적고 아트막한 환상구(環狀丘)가 화구를 둘러싸고 있는 것을 응회환(tuff ring)이라 하고, 이중에서도 환상구가 매우 낮고 화구만으로 이루어진 것같이 보이는 것을 마르(maar)라고 부른다. 제주도의 화산은 대부분 현무암질 용암분출에 기인된 분화활동이며, 화산활동의 원인은 열적 활동에 의한 것으로 보고 있다. 지구화학적으로는 염기성화산암이 대부분이며 알칼리 계열의 솔라이트질 안산암 용암류가 소량 분포하고 있다. 한편 오름의 대부분은 주로 스코리아구(분석구)이며, 일부

해안지역에서 수중화산활동과 관련된 응회구, 응회환 및 마르도 분포하고 있다. 기생화산의 주성분을 구성하고 있는 스코리아는 마그마 분출시 다공질의 화산사와 같은 분출물들이 모여 이루어져있다. 스코리아는 산업용 타일 등의 건축 자재에서 미용재료로까지 다양하게 활용되고 있다[4].

제주도에 대한 지질학적 광물학적 연구는 1925년 S. Nakamura[5] 등이 최초로 수행된 이래, 여러 분야에서 다각적인 방법을 통해 제주도 화산암, 토양과 토기의 성분에 대한 연구가 활발히 진행되어왔다[6, 7]. 이 중에서 Mössbauer분광법은 높은 분해능을 가지고 있다는 장점으로 인해 반도체, 자성체 뿐만 아니라 광물, 토기 등에 대한 연구에도 널리 이용되어 왔으며[8-10]. 특히 ⁵⁷Fe 동위원소에 대한 Mössbauer 효과는 원자가 상태 및 Fe²⁺/Fe³⁺ 비율 등으로부터 물질의 지구화학적 역사 및 암석기술편에 대한 정보를 제공해준다[10]. 이와 함께 X-선 회절법, X-선 형광법[12] 그리고 라만 분광법[13] 등과의 상호 보완적인 연구가 이루어지면 광물의 생성 시기, 구조 분석 등에 대한 정보를 분석할 수 있다. 한편, 스코리아에 대한 화학적 조성 및 흡착성에 대한 연구는 많이 이루어져 왔으나[14] Mössbauer분광법을 이용한 스코리아의 철 화합물에 대한 연구는 거의 전무하다. 본 실험실에서는 최근에 제주도 다른 지역에 존재하는 스코리아의 철 화합물에 대해 연구를 진행하였으며[15, 16], 본 논문에서는 X-선 회절법, X-선 형광법 및 Mössbauer분광법을 이용하여 아직 조사된 바 없는 북부 지역에 존재하는 스코리아에 포함된 철 화합물에 대해 물리, 화학적 특성을 조사하고 다른 지역과의 특성을 비교 분석하고자 한다.

*Tel: (064) 754-3514, E-mail: jdko@cheju.ac.kr

II. 실험 재료 및 방법

본 논문의 스코리아 시료는 제주 북부에 위치한 4개 지역인 A(열안지), B(노루손이), C(연동 민오름), D(도두봉)에서 채취하였으며 채취장소는 Fig. 1에 나타내었다. 채취된 시료는 공기 중에서 충분히 건조시켜 60 μm 이하가 되도록 분말로 분쇄한 후, X-선 회절분석 및 X-선 형광분석용 시료로 이용하였고, Mössbauer 흡수체로 사용하기 위한 분말시료는 시료의 양이 10 mg/cm²가 되도록 정밀하게 분쇄한 후, 유압기로 5000 psi의 압력을 가하여 직경 21 mm, 두께 1 mm의 원판모양으로 만들고 Al foil로 양면을 봉하여 사용하였다. X-선 형광 실험을 위해 시료의 함량 0.6 g과 용제(Li₂B₄O₇, lithium tetraborate) 6 g을 혼합하였고 사용된 X-선 형광 분석기는 Shimadzu XRF-1700(서울대학교) 이었으며 40 kV, 30 mA 조건에서 측정하였다.

본 실험에서 사용한 X-선 회절기는 Rigagu사의 D/MAX2200H(제주대학교)이었으며, X-선 회절을 위한 측정은 파장이 1.5425 Å인 CuKα 선을 이용하였고 2θ의 범위는 5~50°, 전류는 30 mA, 가속 전압은 40 kV 그리고 주사 속도는 4°/분으로 하였다.

본 실험에 사용된 Mössbauer 분광기는 미국 Austin사의 s-600(제주대학교)이었고, γ 선원은 Dupont사의 10 mCi Co⁵⁷ 단일 선원을 사용하였다. 시료 측정시 흡수체와 검출기 사이의 거리 120 mm로 유지하였으며 24시간 이상 공명흡수 선을 측정하여 측정계수가 약 4 × 10⁵~5 × 10⁵이 되도록 하였

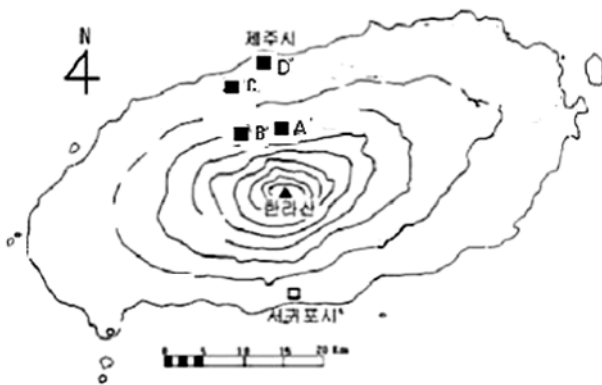


Fig. 1. The site of the scoria samples taken from northern area of Jeju.

Table I. XRF data of scoria samples taken from northern area of Jeju.

Sample	SiO ₂ wt%	Al ₂ O ₃ wt%	TiO ₂ wt%	Fe ₂ O ₃ wt%	MgO wt%	CaO wt%	Na ₂ O wt%	K ₂ O wt%	MnO wt%	P ₂ O ₅ wt%	LOI wt%	total wt%
A	36.11	14.49	2.49	20.08	9.28	5.19	1.31	0.28	0.34	0.41	10.25	100.24
B	40.29	20.28	3.28	15.53	4.13	5.22	1.54	0.80	0.14	0.53	8.65	100.38
C	39.89	13.28	2.70	14.08	4.16	4.20	-	1.24	0.20	0.31	19.23	99.29
D	44.81	16.88	3.23	14.55	4.79	7.84	2.76	1.17	0.16	0.54	2.11	98.83

으며 Doppler 속도는 ±12 mm/s가 되도록 조절하였다.

III. 결과 및 논의

1. X-선 형광 분석

제주도 북부 4개 오름 지역에서 채취한 스코리아 시료에 대한 X-선 형광 분석 결과를 Table I에 나타내었다. Table I에 나타낸 바와 같이 스코리아 시료의 SiO₂ 함량은 36.11 wt%~44.81 wt%이었고, Al₂O₃인 경우 13.28 wt%~20.28 wt%로 나타나고 있으며 총 Fe(Fe₂O₃)는 최저 14.08 wt%에서 최고 20.08 wt%로 분포하고 있다. 이로부터 채취된 시료들은 전형적인 현무암의 성분과 같다는 것을 알 수 있었다. SiO₂ 함량에 따른 분류에 의하면 시료들의 SiO₂ 함량은 36.11 wt%~44.81 wt%로 염기성암으로 분석할 수 있다. 제주도의 화산 폭발로 인한 마그마가 지상으로 분출할 때 생성된 화산쇄설암의 대부분이 염기성암으로 알려져 있으며 일부는 초염기성 현무암도 보고되고 있다. 따라서 이 지역의 스코리아도 화산쇄설암이라는 사실을 고려할 때 동일한 형성과정을 반영한 조직 구조를 지니고 있음을 알 수 있다[17].

Al₂O₃ 함량에 따른 화성암의 분류를 고려했을 때 13.28 wt%~20.28 wt%를 가지는 Al₂O₃의 함량에 비해 CaO + Na₂O + K₂O 함량이 6.78 wt%에서 11.77 wt%로 작은 값을 가지는 고알루미나질로 분류할 수 있다. 한편 화산암에 대한 IUGS (International Union of Geological Sciences)의 화학적 분류에 의하면 Al₂O₃가 13.28~20.28 %이고 Na₂O + K₂O가 1.24~3.93 %로써 전형적인 현무암이라는 것을 알 수 있으며 제주도의 스코리아가 현무암질 용암에 의해 형성되었다는 사실과 잘 일치하고 있다[18].

2. X-선 회절 분석

스코리아 시료에 대한 X-선 회절 측정 결과를 JCPDS (Joint Committee on Power Diffraction)카드와 비교하여 Fig. 2에 나타내었다. 이 그림에서 보는 바와 같이 모든 시료에서 강한 회절 피크들은 21.00°, 26.55°의 quartz(SiO₂, Q)에 의한 것임을 알 수 있고, 36.38°, 35.65°, 25.14°의 피크들은 olivine(감람석, O)이며, 30.32°, 35.50°, 35.74° 부근의 피크들은 pyroxene(휘석, P)이고, 32.68°, 33.23° 부근의 피크

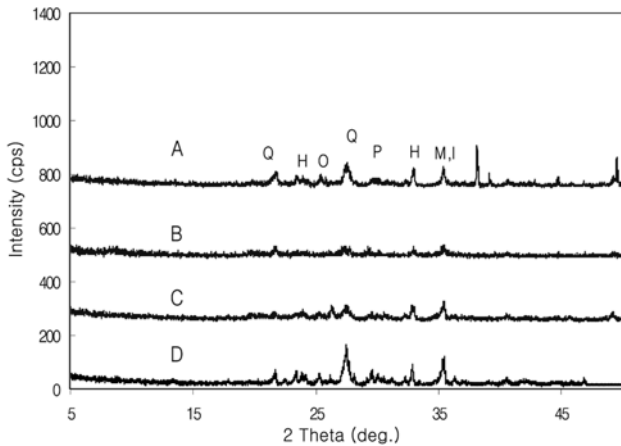


Fig. 2. X-ray diffraction patterns of scoria samples taken from northern area of Jeju. quartz (Q), hematite (H), magnetite (M), olivine (O), pyroxene (P), and ilmenite (I).

들은 ilmenite(티탄철석, I), 24.18°, 33.07°, 49.50° 부근의 피크들은 hematite(적철석, H)이며 35.42° 부근의 피크는 magnetite(자철석, M)에 의한 피크들이었다. 이 결과로부터 측정 시료들은 현무암에 포함된 전형적인 광물들로 분포하고 있음을 알 수 있었다. 한편 B 시료에 대한 X-선 회절 스펙트럼에서 스코리아 시료에 포함된 hematite는 약한 피크를 보이고 있으며 이것은 함량이 10% 이하이므로 피크가 잘 나타나지 않은 것으로 추정된다[19]. 또한 격자 내에서 Al과 Fe 이온은 이온반경이 비슷하기 때문에 동형치환이 발생하여 단위세포 매개변수들을 변화시킨다. 따라서 피크 위치를 약간 이동시키거나 질량흡수계수에도 영향을 미쳐 다른 광물들에 의한 피크 위치가 겹쳐짐으로 인해 피크 폭이 넓어지기 때문에 X-선 회절로는 식별이 용이하지 못한 점이 있다. 이처럼 A, C, D 시료인 경우, 피크의 폭이 넓어져 있고 피크 위치가 다소 이동되어 나타나고 있기 때문에 정확한 분석을 하기 어렵다[20].

화산회토에 많이 포함되어 있다고 알려진 ferrihydrite는 본 스코리아 시료에서는 볼 수 없었다. X-선 회절법으로 확인할 수 있는 ferrihydrite의 함량은 약 50 g/kg~100 g/kg 이상이어야 한다는 것을 고려한다면[21] ferrihydrite의 함량은 50 g/kg 이하일 것으로 추정된다. 또한 제주 지역 토양 시료에서 확인되고 있는 goethite(α -FeOOH) 역시 확인되지 않았으며 이외에 사장석 및 조암광물로 사방회석, 단사회석 등이 존재하는 것을 확인할 수 있었다.

3. Mössbauer 분광 분석

스코리아 시료에 대해 상온(300 K)에서 측정한 Mössbauer 스펙트럼은 Fig. 3과 같다. 이 스펙트럼으로부터 Lorentzian 함수를 써서 least square fitting법으로 구한 Mössbauer

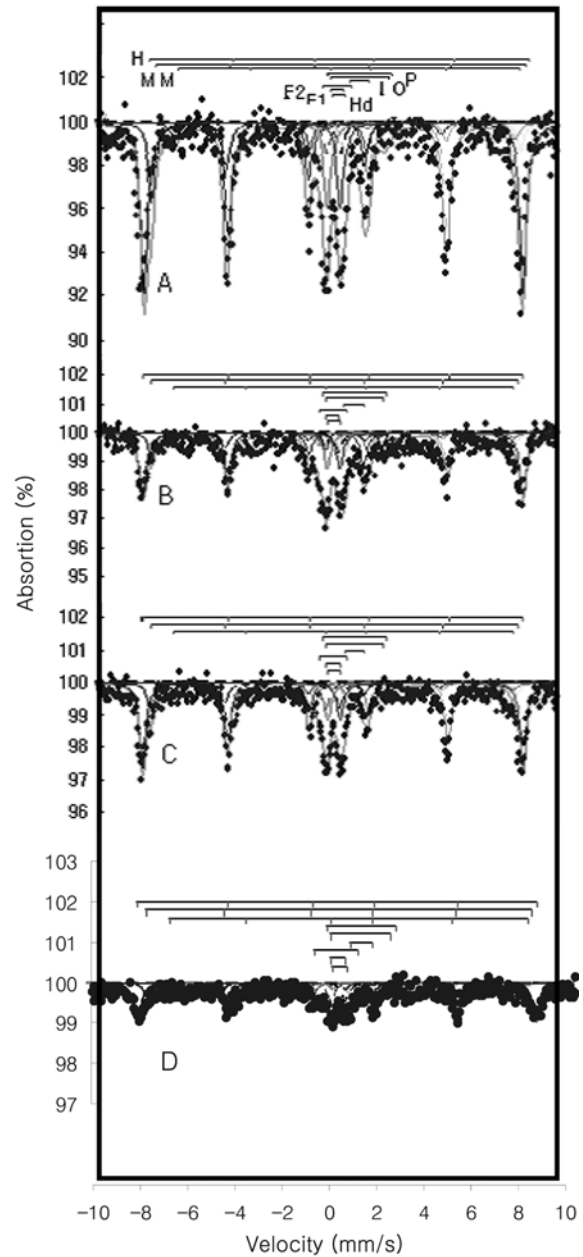


Fig. 3. Mössbauer spectra of scoria samples taken from northern area of Jeju. ilmenite (I), olivine (O), pyroxene (P), hematite (H), hematite doublet (Hd), magnetite (M), and Fe^{3+} minerals (F_1 , F_2).

parameter 값들은 Table II에 나타내었으며 이때 표준편차 값은 0.03 이하 이었다.

모든 시료는 6개의 이중선과 3개의 6중선으로 분석되었다. 각각의 시료들에서 얻은 3개의 6중선들 중, 이전 연구 결과로부터 XRD 분석과 비교한 결과 3개의 6중선과 1개의 이중선은 hematite와[22] magnetite에[23] 의한 공명흡수선으로 분석되었다. 이들 중 hematite인 경우, 단일 6중선과 중앙에 나타난 1개의 이중선으로 분석되었다. 6중선 hematite의 $I. S.$ (이성질체 이동치) 값은 0.29 mm/s~0.30 mm/s 이었고 $Q. S.$ (사중

Table II. Mössbauer parameters of scoria samples taken from northern area of Jeju at 300 K.

Sample	olivine doublet		pyroxene doublet		ilmenite doublet		Fe ³⁺ (F ₁) doublet		Fe ³⁺ (F ₂) doublet		hematite doublet		hematite		magnetite-A*			magnetite-B**			
	I.S.	Q.S.	I.S.	Q.S.	I.S.	Q.S.	I.S.	Q.S.	I.S.	Q.S.	I.S.	Q.S.	I.S.	Q.S.	H _{hf}	I.S.	Q.S.	H _{hf}	I.S.	Q.S.	H _{hf}
	mm/s mm/s		mm/s mm/s		mm/s mm/s		mm/s mm/s		mm/s mm/s		mm/s mm/s		mm/s mm/s		kOe	mm/s mm/s kOe			mm/s mm/s kOe		
A parameter	1.15	2.81	1.13	2.49	1.13	0.85	0.19	0.60	0.18	1.22	0.23	0.55	0.30	-0.07	513.52	0.29	0.01	498.79	0.64	0.02	461.05
A area (%)	1.41		1.64		5.95		5.39		1.41		62.35		21.85								
B parameter	1.15	2.81	1.13	2.48	1.12	0.86	0.19	0.59	0.18	1.20	0.23	0.54	0.30	-0.11	515.78	0.26	0.02	496.69	0.64	0.02	461.08
B area (%)	4.39		5.12		10.29		7.83		4.39		54.36		13.62								
C parameter	1.15	2.81	1.13	2.48	1.13	0.84	0.21	0.59	0.20	1.20	0.25	0.54	0.30	-0.11	515.79	0.26	0.02	496.69	0.64	0.02	461.07
C area (%)	1.93		2.25		3.61		9.82		3.85		60.61		0.18								
D parameter	1.15	2.81	1.13	2.47	1.15	0.88	0.21	0.59	0.14	1.77	0.26	0.58	0.29	-0.12	513.53	0.25	-0.02	494.62	0.64	0.01	461.09
D area (%)	1.98		2.31		9.26		14.09		5.93		54.18		12.25								

극자 분열) 값은 0.07 mm/s~-0.12 mm/s이었으며 H_{hf}(초미세 자기장)값은 513.52 kOe~515.79 kOe이었다. 1개의 이중선이 나타난 원인은 일부 hematite가 100 Å 이하의 크기에서는 초상자성 효과로 인해 초미세자기장이 사라진 것으로 해석된다. I. S. 값은 0.23 mm/s~0.26 mm/s, Q. S. 값은 0.54 mm/s~0.58 mm/s이었으며 이로부터 철의 원자가 상태는 Fe³⁺임을 알 수 있었다.

나머지 2개의 6중선은 magnetite에 의한 사면체 A 자리 [tetrahedral site, Fe³⁺]와 팔면체 B 자리 [octahedral site, (Fe²⁺, Fe³⁺)]의 값으로 분석되었다[24]. A 자리의 I. S. 값은 0.25 mm/s~0.29 mm/s, Q. S. 값은 0.01 mm/s~-0.02 mm/s이었고 H_{hf} 값은 494.62 kOe~498.79 kOe이었으며, B 자리의 I. S. 값은 0.64 mm/s, Q. S. 값은 0.01 mm/s~0.02 mm/s 그리고, H_{hf} 값은 461.05 ~ 461.09 kOe로 분석되었다. 따라서 A 자리는 Fe³⁺인 반면, B 자리의 철 원자는 전자의 비국소화가 일어남에 따라 Fe²⁺와 Fe³⁺의 두 원자가 상태가 뚜렷이 구분되지 않고 공존하는 전형적인 magnetite에 의한 공명흡수선임을 알 수 있었다.

다른 6개의 이중선 중 3개는 각각 I. S. 값이 1.13 mm/s~1.15 mm/s이고 Q. S. 값은 2.81 mm/s~2.83 mm/s인 olivine, I. S. 값이 1.13 mm/s~1.14 mm/s이고 Q. S. 값이 2.46 mm/s~2.48 mm/s인 pyroxene, I. S. 값이 1.09 mm/s~1.15 mm/s, Q. S. 값은 0.73 mm/s~0.90 mm/s인 ilmenite로써 이전의 결과들과 잘 일치하고 있으며, 이 값들로부터 철의 원자가 상태는 Fe²⁺임을 알 수 있었다[25]. 나머지 2개의 2중선은 XRD 분석에서 찾을 수 없었던 또 다른 산화철에 관한 값으로 I. S. 값이 0.10 mm/s~0.21 mm/s, Q. S. 값은 0.57 mm/s~1.83 mm/s 이므로 I. S. 값으로부터 goethite 또는 ultrafine Fe³⁺로[26] 추정할 수 있으나 정확한 광물의 형태는 알 수 없었다. 일반적으로 hematite는 950°C 이상의 고온에서 ilmenite와 완전 고용체를 이룬다.

Table II에서는 Mössbauer 공명흡수선으로부터 철 화합물의 함량비를 비교한 값을 나타내었다. 이 결과에서 나타났듯이 hematite 함량은 약 57.88 %이었고 magnetite의 함량은 10.10 %이었으며 olivine은 2.33 %, pyroxene은 2.71 %, ilmenite는 4.91 %이었다. 나머지 Fe³⁺ (F₁, F₂) 산화철 광물들은 각각 18.42 %, 2.71 %를 이루고 있다. 따라서 스크리아에 포함된 철 화합물의 대부분은 적철석 계열의 산화철 성분 형태로 존재함을 알 수 있다.

제주 화산암의 철 화합물들은 대부분 규산염계열의 철산화물들로 원자가 상태가 Fe²⁺인 olivine, ilmenite, pyroxene들인데 비해 본 스크리아 시료들에서는 이들의 함량이 비교적 적은 반면, 주성분인 적철석 계열의 산화철에 대한 I. S. 값의 범위는 0.23 mm/s~0.30 mm/s로 대부분 Fe³⁺ 상태로 존재하고 있음을 확인할 수 있다. 이는 지하 내부 암석으로 존재했던 화산암에 비해 본 시료들의 생성조건이 화산분출에 의한 화산쇄설암으로써 지표면에서 간헐적 분출에 의해 공기 중에서 생성되었기 때문이라 해석되어진다[27].

한편 A 시료와 D 시료를 비교하여 보면 A 시료는 비교적 한라산과 인접한 중산간에 위치한 반면, D 시료는 해안가에 위치한 오름이며, 이들의 XRF 결과에서 D 시료가 A 시료에 비해 SiO₂ 함량이 적고 Fe₂O₃의 함량이 많은 것은 해안가에 위치한 환경적 요인으로 인하여 산화가 더 빨리 진행되어 철의 함량이 많아진 것으로 볼 수 있다. 이것은 D 시료에 대한 Mössbauer 분석에서 Hematite의 면적비는 오히려 줄어들었지만 산화에 의한 나머지 Fe³⁺(F₁)의 함량이 증가한 것을 통해서도 알 수 있다.

IV. 결 론

제주 북부 4개 오름 지역에서 채취한 스크리아 시료들에 대한 철 화합물들의 물리 화학적 특성을 조사한 결과를 요약

하면 다음과 같다.

XRF 분석을 통해 고알루미나질 화성암과 전형적인 현무암으로 분류할 수 있다. 또한 총 Fe의 함량이 14.08 wt%에서 20.08 wt%로 분포되어있는 고철질 광물임을 알 수 있었다. X-선 회절 분석으로부터, 채취된 시료들은 SiO₂와 같은 규산염 광물과 olivine, pyroxene, ilmenite, hematite와 magnetite 등의 광물이 분포되어 있음을 확인할 수 있었다.

시료들에 대한 Mössbauer스펙트럼으로부터 olivine, pyroxene, ilmenite 그리고 다른 Fe³⁺의 철 화합물에 의한 이중선들과 hematite와 magnetite에 의한 6중선을 볼 수 있었으며, 중앙에 있는 1개의 2중선은 hematite의 입자 크기 효과에 의한 초상자성 2중선으로 추정되었다. 이들 성분들의 Mössbauer 면적비를 비교하여 스코리아에 포함된 철 화합물의 대부분은 적철석 계열의 산화철 성분 형태로 존재함을 알 수 있었다. 이들의 I. S. 값으로부터 본 시료들에 함유된 철 화합물들의 산화상태는 대부분 hematite와 magnetite에 의한 Fe³⁺ 상태임을 확인하였으며 ilmenite, pyroxene, olivine에 의한 Fe²⁺ 상태도 포함되어 있음을 알 수 있었다.

이 시료들에 대해 기존의 XRF 그리고 Mössbauer 연구와 비교 분석한 결과 비교적 인접한 동부 및 다른 중산간 지역 시료와 SiO₂함량 및 구조에서 유사하였다. 한편 동부지역 일부 시료와는 차이를 보이고 있으나 뚜렷한 지역별 구조의 경계선을 찾기에는 미흡한 면이 있다. 따라서 보다 체계적인 지역별 분석을 위해서는 다른 지역의 시료들에 대해 추가적 실험을 통해 화산쇄설물의 형성 이력을 규명하기위한 정밀한 분석이 필요하다고 생각된다.

참고문헌

[1] The Geological Society of Korean, Korean Geological Features, Sigma Press, Seoul (2002) pp. 293-295.
 [2] J. S. Koh, S. H. Yun, and S. S. Kang, J. Petrol. Soc. Korea, **12**(12), 1 (2003).
 [3] D. I. Oh, Ph. D. thesis(in Korean), Cheju National Univ., Jeju (2004) pp. 12-18.
 [4] S. W. Lee and S. H. Suh, J. Arch. Inst. Korean, **9**(1), 403 (1989).

[5] S. Nakamura, The Globe(chikyū), **4**, 325 (1925).
 [6] S. H. Choi, J. I. Lee, C. H. Park, and J. Moutte, The Island Arc., **11**(4), 221 (2002).
 [7] S. Y. Hamm, J. Y. Cheong, S. Jang, C. Y. Jung, and B. S. Kim, J. Hydrology, **310**, 111 (2005).
 [8] E. Murad, Hyperfine Interactions, **117**, 39 (1998).
 [9] J. G. Stevens, A. Khasanov, J. W. Miller, H. Pollak, and Z. Li, Hyperfine Interactions, **117**, 71 (1998).
 [10] J. M. R. Genin, G. Bourrie, F. Trolard, M. Abdelmoula, A. Jaffrezic, P. Refait, V. Maitre, B. Humbert, and A. Herbillon, Environ. Sci. Technol., **32**(8), 1058 (1998).
 [11] E. De Grave, S. G. Eeckhout, and C. A. McCammon, Hyperfine Interactions, **122**, 21 (1999).
 [12] V. Rusanov, R. G. Gilson, A. Lougear, and A. X. Trauwein, Hyperfine Interactions, **128**, 353 (2000).
 [13] S. G. Marchetti, R. Spretz, M. A. Ulla, and E. A. Lombardo, Hyperfine Interactions, **128**, 453 (2000).
 [14] S. K. Kam, S. S. Hyun, and M. G. Lee, J. Kor. Soc. Environ. Eng., **24**(1), 57 (2002).
 [15] W. J. Choi and J. D. Ko, Sae Mulli, **55**(6), 477 (2007).
 [16] W. J. Choi and J. D. Ko, J. of Kor. Mag. Soc., **17**(5), 1 (2007).
 [17] Y. Tatsumi, H. Shukuno, M. Yoshikawa, Q. Chang, K. Sato, and M. W. Lee J. Petrology, **46**(3), 523 (2005).
 [18] J. G. Gung and J. M. Lee, The Study of Igneous Rocks, Sigma Press, Seoul (2000) pp. 64-69.
 [19] H. Kodama, J. A. Mckeague, R. J. Tremblay, J. R. Gosselin, and M. G. Townsend, Can. J. Earth Sci., **14**(1), 1 (1977).
 [20] B. D. Cullity, Elements of X-ray Diffraction, Addition-Wesley (1978) pp. 281-292.
 [21] C. W. Childs, N. Matsye, and N. Toshinaga, Soil Sci. Plant. Nutr., **37**(2), 299 (1991).
 [22] V. G. Bhide, Mössbauer Effect and Its Application, Tata Mcgraw-Hill, New Deli (1973) pp. 273-274.
 [23] C. S. Lee and C. Y. Lee, J. of Kor. Mag. Soc., **7**(5), 232 (1997).
 [24] G. J. Long, Mössbauer Spectroscopy Applied to Magnetism and Materials Science, Plenum Press, New Work (1993) pp. 132-153.
 [25] S. R. Hong, Hyperfine Interactions, **57**, 222 (1990).
 [26] G. M. da Costa, E. G. da Silva, and M. F. de J. Filho, Hyperfine Interactions, **67**, 501 (1991).
 [27] Y. S. Zhang, Y. H. Kim, and K. C. Song, Kor. J. Soil Sci., **35**(3), 145 (2002).

A Study on Iron Compounds of Scoria in The Northern Area of Jeju

Won Jun Choi and Jeong Dae Ko*

Department of Physics, Cheju National University #1, Ara-1 Dong, Jeju-si 690-756, Korea

(Received 18 September 2008, Received in final form 9 October 2008, Accepted 9 October 2008)

Fe compounds of scoria distributed in northern area of Jeju island are investigated using X-ray fluorescence spectroscopy, X-ray diffractometry, and ^{57}Fe Mössbauer spectroscopy. The samples were prepared from four parasite volcanos. These samples consist of the typical basalt comprised of SiO_2 , Al_2O_3 , Fe compounds, and silicate minerals. The Mössbauer spectra showed doublets for olivine, pyroxene, and ilmenite as well as sextets for hematite and magnetite. The valence state of Fe is chiefly a 3+ charge state with a little 2+ charge state. It is expected that this results will add to the body of information related to the information mechanism of Jeju island. The geochemistry for these samples is the same results to mid-mountain's samples in Jeju Island.

Keywords : scoria, X-ray diffractometry, X-ray fluorescence, Mössbauer effect, iron compound